

· 论 著 ·

破膜剂对流式细胞术检测小肠中 ILC3 频率的影响*

曹 敏, 张晓敏, 王培昌, 刘 静[△]

(首都医科大学宣武医院检验科, 北京 100053)

摘要:目的 探讨不同破膜剂对于流式细胞术检测小肠中 3 型固有淋巴样细胞(ILC3)频率的影响。方法 取小鼠小肠组织, 经胶原酶消化后获得 ILC3, 比较 BD 公司破膜剂(BD 组)、eBioscience 公司破膜剂(EB 组)、联科生物公司破膜剂(MS 组)对小肠中 ILC3 检测频率的影响。结果 在其他条件相同情况下, EB 组和 BD 组检测到小肠内 ILC3 的频率高于 MS 组($P < 0.05$), 但小肠 ILC3 的检出频率在 BD 组和 EB 组之间的差异无统计学意义($P > 0.05$)。结论 不同类型破膜剂对小肠 ILC3 检出频率有影响, 实验时应根据细胞类型选择合适的破膜剂。

关键词:流式细胞术; 破膜剂; 3 型固有淋巴样细胞

DOI:10.3969/j.issn.1673-4130.2020.23.005

文章编号:1673-4130(2020)23-2835-04

中图法分类号:R392.9; R446.63

文献标识码:A

The effects of fixation/permeabilization reagents on flow cytometry

detection for ILC3 frequency in the intestine*

CAO Min, ZHANG Xiaomin, WANG Peichang, LIU Jing[△]

(Department of Clinical Laboratory, Xuanwu Hospital, Capital Medical University, Beijing 100053, China)

Abstract: Objective To explore the effect of different fixation/permeabilization reagents on the detection of innate lymphoid cells 3(ILC3) frequency in the intestine by flow cytometry. **Methods** The intestine tissues of mice were obtained, and digested it with collagenase to get ILC3. The effects of different fixation/permeabilization reagents from Becton Dickinson and Company(BD group), eBioscience Company(EB group) and Multi Sciences(Lianke) Biotechnology Corporate Limited(MS group) on the detection results of small intestinal ILC3 were compared. **Results** Under the same other conditions, the frequency of ILC3 detection in small intestine in EB group and BD group was higher than that in MS group ($P < 0.05$), but there was no significant difference between BD group and EB group ($P > 0.05$). **Conclusion** Different fixation/permeabilization reagents may affect the detection frequency of ILC3 in the small intestine, and the appropriate fixation/permeabilization reagents should be selected according to the cell type during the experiment.

Key words: flow cytometry; fixation/permeabilization reagents; innate lymphoid cells 3

固有淋巴样细胞(ILCs)是最近发现的一种天然免疫细胞, ILCs 是由造血干细胞(HSC)分化而来, HSC 向 ILCs 分化的途径为: 长期造血干细胞(LT-HSCs)→ 短期造血干细胞(ST-HSCs)→ 多能祖细胞(MPPs)→ 共同淋系祖细胞(CL-P)→ 髓样淋巴祖细胞(CMP)→ ILC 前体细胞(ILCP)→ 各类 ILCs^[1]。ILCs 主要分为 3 个亚群: ILC1 亚群(ILC1s)、ILC2 亚群(ILC2s)和 ILC3 亚群(ILC3s)^[2]。目前研究认为, ILC1s 存在于肠道和肝脏中, 在病毒感染早期及肝脏损伤中发挥免疫作用^[3-4]; ILC2s 主要存在与肠道、肺

部和血液中, 与哮喘、过敏性皮炎有关^[5-6]; ILC3s 主要存在于淋巴结和肠道中, 在炎症性肠病及清除胞内寄生菌感染中发挥免疫作用^[7-8]。目前检测小肠组织中 ILC3 频率的方法主要依靠流式细胞术结合胞内染色, 但是在染色过程中诸多因素会影响检测结果。由于小肠中 ILC3 含量较少且含有胞内抗原, 需对其进行固定破膜后染色, 固定破膜效果如何将成为影响小肠中 ILC3 检测水平的一项重要因素^[9]。本研究中, 调查组比较不同厂家的破膜试剂(BD 公司破膜剂、eBioscience 公司破膜剂、联科生物公司破膜剂)对小肠中

* 基金项目:国家自然科学基金项目(81472007);北京市医管局人才培养计划“登峰”项目(DFL20180803)。

作者简介:曹敏,女,在读硕士研究生,主要从事标志物筛选、衰老及相关疾病机制研究。 △ 通信作者,E-mail:wsliu.jing@163.com。

本文引用格式:曹敏,张晓敏,王培昌,等.破膜剂对流式细胞术检测小肠中 ILC3 频率的影响[J].国际检验医学杂志,2020,41(23):2835-2838.

ILC3 检测效率的影响,目的在于提高小肠组织中 ILC3 检出频率,为后续实验奠定基础。

1 材料与方法

1.1 材料

1.1.1 动物实验小鼠 均为无特定病原体(SPF)级雌性小鼠(月龄 3 个月),体质量(20 ± 5)g,购自北京华阜康生物科技股份有限公司。

1.1.2 仪器 Gallios 流式细胞仪(美国 Beckman 公司),高速冷冻离心机(美国 Thermo Scientific 公司),1 mL 注射器、1.5 mL、50 mL 离心管(北京兰博利德商贸有限公司),200 目尼龙纱网、流式细胞仪试管(美国 BD 公司)。

1.1.3 试剂 eBioscience 公司 Transcription Factor Staining Buffer Set 破膜剂(货号:00-5523-00),BD 公司 Cytofix/Cytoperm 破膜剂(货号:554714),联科生物公司 Fix&Perm Kit 破膜剂(货号:70-GAS003)。抗小鼠 Lin-405、抗小鼠 CD45-FITC、抗小鼠 CD127-PECy7、抗小鼠 ROR γ t-APC 购自 eBioscience 公司。3.5% 水合氯醛、10×磷酸盐缓冲液(PBS)干粉、Hank's 平衡盐溶液(HBSS)、5 mmol/L 乙二胺四乙酸(EDTA)、N-2-羟乙基哌嗪-N'-2-乙磺酸(HEPES)、胶原酶、Dnase I 购自北京索莱宝科技有限公司,胎牛血清购自以色列 Biological Industries 公司。

1.2 方法

1.2.1 小肠组织单细胞悬液制备 取月龄 3 个月的实验小鼠,3.5% 水合氯醛腹腔注射麻醉后断颈处死,剪开腹部皮肤,暴露腹腔脏器,用手术剪在胃与十二指肠连接处、回盲肠连接处剪断,分离全段小肠置于 1% 冷 PBS 中,剥除肠系膜并用 1% 冷 PBS 冲洗小肠,剪下小肠派尔集合淋巴结(PP 结),将小肠置于 5~10 mL solution I (HBSS+5 mmol/L EDTA+10 mmol/L HEPES) 中,37 °C 100 r/min 摆床中消化 15~20 min,重复 4~5 次,直至小肠组织呈无色透明状,弃上清液并收集小肠组织置于 solution II (HBSS+2% FBS+0.5 mg/mL 胶原酶 II +0.5 mg/

mL 胶原酶 III +0.5 mg/mL DNase I) 中,再次消化,37 °C 100 r/min 摆床中消化 30 min,重复 2~3 次,将小肠组织消化液于 200 目尼龙纱网中过滤后,将上清液收集于 50 mL 离心管中^[10]。

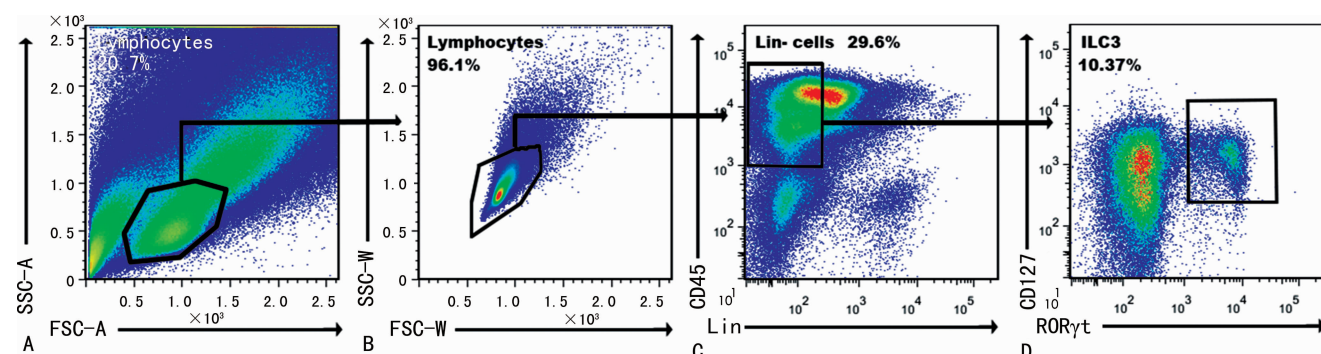
1.2.2 细胞染色 将收集的小肠组织单细胞悬液根据使用的破膜剂分为 3 组:eBioscience 组(EB 组)、BD 组、联科组(MS 组)。每份标本中分别加入 Lin-405、CD45-FITC、CD127-PECy7 进行表面染色,冰上避光孵育 1 h,3 000 r/min 离心 1 min,3 组标本中分别加入不同公司的适量破膜剂,温度 4 °C,分 10、20 及 60 min 3 种不同处理时间,用配套的破膜洗液洗涤两遍后,在小肠组织单细胞悬液标本中分别加入 ROR γ t-APC 抗体冰上避光染色 1 h,染色结束后分别加入适量配套的破膜洗液洗涤两遍,2 h 内上机检测。

1.2.3 样品检测与分析 开启 Gallios 流式细胞仪在前向角散射光(FSC)/侧向角散射光(SSC)散点图中显示细胞群,圈出淋巴细胞群,利用 ISO 管、单阳管调节电压、补偿等参数。在淋巴细胞群中,圈出 Lin-CD45⁺CD127⁺ROR γ t⁺ 的 ILC3^[11],利用 FlowJo (version 7.6) 软件分析细胞群比例。

1.3 统计学处理 正态分布的计量资料用 $\bar{x} \pm s$ 表示,组间比较采用 *t* 检验,所用统计学方法均使用 Graph Pad Prism (version 7.0) 软件进行分析,以 $P < 0.05$ 为差异有统计学意义。

2 结 果

2.1 小鼠小肠 ILC3 圈门策略 如图 1 所示,可见明显 ILC3 细胞群。相同破膜时间不同组别中小肠 ILC3 典型图如图 2 所示。将相同破膜时间不同破膜剂处理的 ILC3 检出频率进行比较,发现 EB 组 [(19.66 ± 0.33)%] 和 BD 组 [(20.73 ± 0.49)%] Lin-CD45⁺CD127⁺ROR γ t⁺ 的 ILC3 检出率高于 MS 组 [(10.79 ± 0.25)%],差异有统计学意义 ($P < 0.05$),但 BD 组和 EB 组小肠组织中 ILC3 的检出频率差异无统计学意义 ($P > 0.05$),如图 3 所示。



注:A 为小肠中淋巴细胞群分布;B 为淋巴细胞群;C 为 Lin+ 细胞群;D 为 CD127⁺ROR γ t⁺ 的 ILC3。

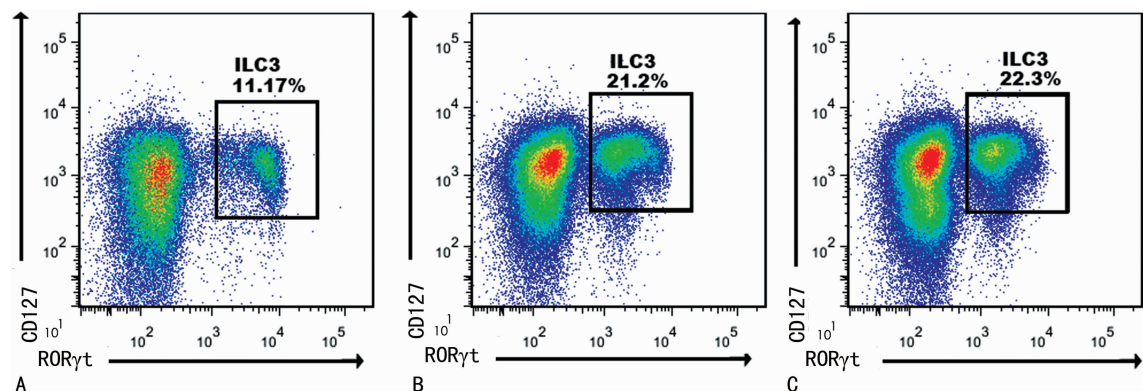
图 1 小肠 ILC3 圈门策略

2.2 破膜时间对检测小肠中 ILC3 频率的影响 3

种破膜剂分别对小肠 ILC3 处理不同时间,结果表明,

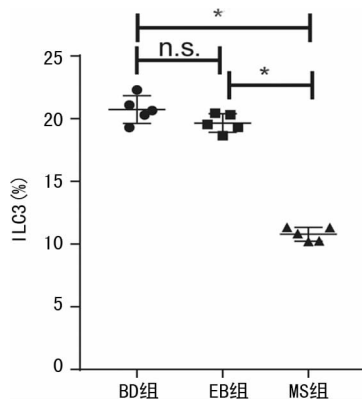
对细胞处理 10 min, 破膜效果较差, 然而破膜 60 min, 破膜过度, 小肠 ILC3 检出频率低, 细胞形态受破坏。

当细胞处理 20 min 时, 破膜效果最佳, 小肠中 ILC3 检出频率最高。见表 1。



注: A 为 MS 组小肠 ILC3 频率; B 为 EB 组小肠 ILC3 频率; C 为 BD 组小肠 ILC3 频率。

图 2 不同破膜剂破膜后小肠 ILC3 的典型图



注: 与 MS 组比较, * $P < 0.05$; “n.s.” 表示差异无统计学意义 ($P > 0.05$)。

图 3 不同破膜剂组小肠 ILC3 检出频率比较

表 1 破膜时间对 3 组破膜剂检测 ILC3 细胞频率的影响

破膜时间	BD 组(%)	EB 组(%)	MS 组(%)
10 min	19.52	18.56	10.24
20 min	21.73	19.20	11.20
60 min	20.14	18.32	10.65

2.3 实验的可重复性 在相同实验条件下, 同一份标本由不同操作者进行, 结果差异无统计学意义 ($P > 0.05$), 同一份标本由同一操作者重复 2 遍, CV 值均小于 5%。

3 讨 论

随着流式细胞技术的不断发展, 流式细胞术广泛应用于各大实验室, 特别是随着激光管的不断增加, 荧光素的不断开发, 多色流式细胞仪的应用能够更加快速准确灵敏地检测多个指标, 例如在检测自然杀伤(NK)细胞和 ILC1 时, NK 细胞与 ILC1 均属于第一类 ILC 细胞, 且由于 ILCs 发现较晚, ILC1 常与 NK 细胞相混淆, 但由于多色流式细胞技术的发展, 研究人员发现在 $CD3^-NKp46^+NK1.1^+$ 的基础上, $CD49a^+CD49b^-$ 的细胞是 ILC1, 而 $CD49a^-CD49b^+$ 的细胞是 NK 细胞^[12]。

在原有基础上, 增加两种荧光素, 能够准确区分两种不同细胞, 为后续实验奠定了基础。

利用流式细胞术检测细胞时, 对于胞内抗原染色, 细胞的固定与破膜是否恰当将严重影响染色效果, 目前常用的破膜剂主要是 BD Cytofix/Cytoperm 试剂盒、Beckman Coulter 试剂盒、eBioscience Fix & Perm 试剂盒等, 选择合适的破膜剂, 能够更好地保持细胞的大小和完整性, 增加细胞膜的通透性。本实验发现应用 EB 公司的破膜剂和 BD 公司破膜剂能够更好的检测出小肠中 ILC3, 在多次实验中发现, 使用配套的破膜液洗涤细胞后, 能够有效地减少非特异性结合, 并提高染色效率。但延长破膜时间并没有提高破膜效率, 反而由于破膜时间过长, 细胞肿胀, 可能会导致细胞死亡。对于低水平表达的抗原, 在做配色时, 应选择强荧光集团, 并适当增加染色时间, 以提高染色效率, 同时当流式标本制作完成后, 应尽快进行上机检测, 减少细胞死亡, 使实验结果更加准确。

本实验所研究的 ILC3 属于第三类 ILCs, ILC3 分为 $NKp46^+$ 的 ILC3 和 $NKp46^-$ 的淋巴样组织诱导细胞(LTi)^[13], ILC3 主要存在于肠道、皮肤黏膜中, 受到 TCF1、Notch 和 RUNX1 等转录因子的调控^[14]。ILC3 主要存在于小肠固有层, 产生 IL-22 和 IL-17 等细胞因子, 对维持肠道免疫功能发挥重要作用^[14]。在利用流式细胞仪检测小肠中 ILC3 时, 由于 ROR γ t 属于胞内抗原, 且抗原表达水平较低, 本实验室选择了荧光素较强的 APC 做配色^[15], 同时选用合适的破膜剂, 能够更好的检测小肠内 ILC3。流式细胞术作为一项被广泛应用的实验技术, 在开始正式实验前, 应仔细考虑本实验的配色方案是否合理, 并利用少量标本进行预实验, 根据预实验结果, 调整实验方法, 最终获得理想的实验结果。

4 结 论

本研究通过比较不同公司破膜剂对检测小鼠小

肠中 ILC3 频率的影响,发现 EB 公司破膜剂和 BD 公司破膜剂能提高流式细胞仪检测频率,同时验证了增加破膜时间并不能提高破膜效率。本研究比较了 3 种不同公司的破膜剂对检测小鼠小肠中 ILC3 的影响,为后续实验奠定了基础。

参考文献

- [1] CEDAR H, BERGMAN Y. Epigenetics of haematopoietic cell development[J]. Nat Rev Immunol, 2011, 11(7): 478-488.
- [2] SERAFINI N, VOSSHENRICH C A J, DI SANTO J P. Transcriptional regulation of innate lymphoid cell fate [J]. Nat Rev Immunol, 2015, 15(7): 415-428.
- [3] WEIZMAN O E, ADAMS N M, SCHUSTER I S, et al. ILC1 confer early host protection at initial sites of viral infection[J]. Cell, 2017, 171(4): 795-808.
- [4] NABEKURA T, RIGGAN L, HILDRETH A D, et al. Type 1 innate lymphoid cells protect mice from acute liver injury via interferon-gamma secretion for upregulating bcl-xL expression in hepatocytes[J]. Immunity, 2020, 52(1): 96-108.
- [5] YU Q N, GUO Y B, LI X, et al. ILC2 frequency and activity are inhibited by glucocorticoid treatment via STAT pathway in patients with asthma[J]. Allergy, 2018, 73(9): 1860-1870.
- [6] LEYVA-CASTILLO J M, GALAND C, MASHIKO S, et al. ILC2 activation by keratinocyte-derived IL-25 drives IL-13 production at sites of allergic skin inflammation [J].
- [7] EBBO M, CRINIER A, VÉLY F, et al. Innate lymphoid cells: major players in inflammatory diseases[J]. Nat Rev Immunol, 2017, 17(11): 665-678.
- [8] YIN S X, YU J J, HU B, et al. Runx3 Mediates resistance to intracellular bacterial infection by promoting IL12 signaling in group 1 ILC and NCR+ILC3[J]. Front Immunol, 2018, 9: 2101.
- [9] 苏小惠, 沈蕾. III型固有淋巴细胞中 SIRT6 在小鼠结肠炎中作用的初探[J]. 现代免疫学, 2019, 39(5): 370-377.
- [10] EBIHARA T, SONG C, RYU S H, et al. Runx3 specifies lineage commitment of innate lymphoid cells[J]. Nat Immunol, 2015, 16(11): 1124-1133.
- [11] XIA, P Y, LIU J, WANG S, et al. WASH maintains NKp46(+) ILC3 cells by promoting AHR expression [J]. Nat Commun, 2017, 8: 15685.
- [12] ROMERO-SUAREZ S, DEL RIO SERRATO A, BUE-NO R J, et al. The central nervous system contains ILC1s that differ from NK cells in the response to inflammation [J]. Front Immunol, 2019, 10: 2337.
- [13] 马若愚, 郭婧, 汪溯. 固有淋巴细胞的发育与功能[J]. 生命科学, 2015, 27(4): 417-424.
- [14] ROBINETTE M L, BANDO J K, SONG W, et al. IL-15 sustains IL-7R-independent ILC2 and ILC3 development [J]. Nat Commun, 2017, 8: 14601.
- [15] 谷焕鹏, 胡升芳. 流式细胞分析中荧光素选择问题探析 [J]. 中国保健营养旬刊, 2012, 22(1): 121-122.

(收稿日期: 2020-02-22 修回日期: 2020-06-26)

(上接第 2834 页)

- LLAN K J, et al. Altered patterns of transcription of the septin gene, SEPT9, in ovarian tumorigenesis[J]. Int J Cancer, 2006, 118(5): 1325-1329.
- [8] 吕讷男, 韩超, 徐晓红, 等. 卵巢上皮性癌组织及外周血中 septin-9 的表达情况[J]. 北京医学, 2015, 37(7): 662-666.
- [9] AHMED D, DANIELSEN S A, AAGESEN T H, et al. A tissue-based comparative effectiveness analysis of biomarkers for early detection of colorectal tumors [J]. Clin Transl Gastroenterol, 2012, 3(12): e27.
- [10] SCHRÖCK A, LEISSE A, VOS L D, et al. Free-circulating methylated DNA in blood for diagnosis, staging, prognosis, and monitoring of head and neck squamous cell carcinoma patients: an observational prospective cohort study[J]. Clin Chem, 2017, 63(7): 1288-1296.
- [11] 褚文慧, 吴开春. 外周血 SEPT9 DNA 甲基化检测在结直肠癌筛查中的应用[J]. 胃肠病学, 2015, 20(10): 622-624.
- [12] SONG L L, YU H T, JIA J, et al. A systematic review of the performance of the SEPT9 gene methylation assay in colorectal cancer screening, monitoring, diagnosis and

- prognosis[J]. Cancer Biomark, 2017, 18(4): 425-432.
- [13] 蔡克银, 徐梅华, 王晓. 粪便 DNA 中联合 SFRP1 及 SEPT9 基因甲基化检测对老年性结直肠癌早期诊断的临床研究[J]. 临床肿瘤学杂志, 2018, 23(1): 25-29.
- [14] 夏常青, 徐忠法. 血浆 Septin9 基因甲基化在结直肠癌治疗中的监测作用[J]. 中国肛肠病杂志, 2019, 39(3): 6-8.
- [15] 梁扩寰, 李绍白. 肝脏病学[M]. 北京: 人民卫生出版社, 1995: 213.
- [16] 刘存芬. 232 例肝胆疾病患者血清肝酶谱分析[J]. 检验医学与临床, 2008, 5(21): 1309-1310.
- [17] 郁玲. 常用肿瘤标志物及临床检测应用[J]. 医学信息, 2011, 24(6): 3494-3495.
- [18] 庾少梅, 林珠, 连炬飞, 等. 联合检测 CHE、AFU 及 AFP 与原发性肝癌的相关性研究[J]. 国际检验医学杂志, 2015, 36(13): 1821-1822.
- [19] 吴黎黎, 邵璇璇, 张曼, 等. 血清肿瘤标志物的联合检测在原发性肝癌中的诊断价值[J]. 检验医学与临床, 2015, 12(6): 172-173.

(收稿日期: 2020-01-20 修回日期: 2020-06-19)